

# LD 泵浦的声光调 $Q$ 高重复率 Nd:GdVO<sub>4</sub> 激光器

孙渝明 候学元 李宇飞

(山东大学信息学院光学系, 济南 250100)

**摘要** 报道了利用 LD 泵浦、1.06 μm 声光调  $Q$  准连续 Nd:GdVO<sub>4</sub> 激光器的输出特性。当泵浦功率为 4.15 W, 重复率为 40 kHz 时, 获得的最大平均输出功率为 1.46 W, 光-光转换效率为 35.1%, 斜效率为 44.2%。在重复率为 10 kHz 时, 获得了最短脉宽 24 ns, 最大单脉冲能量为 63.2 μJ, 相应峰值功率为 2.62 kW。

**关键词** 半导体激光器; 泵浦; Nd:GdVO<sub>4</sub> 晶体; 声光调  $Q$

**中图分类号** TN248      **文献标识码** A

## 0 引言

半导体激光器 (LD) 泵浦的固体激光器 (DPSSL) 具有高效率、光束质量好、结构紧凑、寿命长等优点, 在军事、医学、信息、工业、科研等领域具有广泛的用途。Nd:GdVO<sub>4</sub> 是一种适合 LD 泵浦的新型激光晶体。与现在广泛使用的 Nd:YVO<sub>4</sub> 晶体相比, Nd:GdVO<sub>4</sub> 不仅对 808 nm 波长的泵浦光具有较高的吸收系数和在 1.06 μm 波长处具有较大的受激发射截面 ( $7.6 \times 10^{-19} \text{ cm}^2$ ), 以及较高的钕离子掺杂而不发生浓度猝灭效应, 其最大的优点是热导率高, 沿〈110〉方向的热导率高达 11.7 W/M·K, 可以与 Nd:YAG 晶体相比拟, 几乎比 Nd:YVO<sub>4</sub> 晶体的热导率高两倍。因此 Nd:GdVO<sub>4</sub> 是一种很有应用前景的激光晶体, 近年来引起了广泛关注, 一些文献报道了 LD 泵浦 Nd:GdVO<sub>4</sub> 晶体的基频和倍频的激光性能<sup>[1~6]</sup>。

DPSSL 的调  $Q$  器件具有高重复率、高平均功率和高光-光转换效率等优点, 在激光雷达、激光测距和光电对抗等方面的应用中都显现了极大的优越性。对于 LD 泵浦的 1.06 μm 声光调  $Q$  Nd:GdVO<sub>4</sub> 激光器, Zhang H. J. 等进行过相关报道<sup>[3]</sup>, 在重复率为 60 kHz, 得到了 7.25 W 的功率输出, 光-光转换效率为 38.1%, 斜效率为 42.9%。本文报道了在短平-凹腔中利用 LD 单端泵浦声光调  $Q$  Nd:GdVO<sub>4</sub> 激光器的输出特性, 比较不同输出镜透过率和声光调制频率下激光的输出性能。

## 1 实验装置

实验装置如图 1 所示。谐振腔采用平-凹腔, 腔长约 100 mm。凹镜 M<sub>1</sub> 靠近泵浦端的一面镀 808 nm

增透膜, 靠近 Nd:GdVO<sub>4</sub> 晶体的一面镀 808 nm 增透膜和 1.06 μm 全反膜。平面镜 M<sub>2</sub> 为对 1.064 μm 部分透过的输出镜。泵浦源为光纤束耦合输出的半导体激光器系统, 输出激光中心波长为 808 nm, 数值孔径 NA = 0.22, 光纤输出光束经聚焦系统后的泵浦光斑半径约为 0.44 mm。激光晶体 Nd:GdVO<sub>4</sub> 由山东大学晶体所提供, 掺杂浓度为 1 at%, 尺寸为 4 × 4 × 6 mm<sup>3</sup>, 两通光面镀 1.06 μm 增透膜。晶体侧面用铜箔包裹置于紫铜块内, 并用半导体致冷器冷却控温在 20 °C。所使用的 QSGSU-6/Q 型声光  $Q$  开关(中国电子科技集团公司第二十六研究所)的长度为 20 mm, 两通光面镀 1.06 μm 增透膜, 衍射损耗为 85%, 调制重复率 1 ~ 40 kHz 可调, 中心频率为 70 MHz, 驱动电功率为 2.3 W, 电脉冲上升时间为 8 ns, 下降时间为 14 ns。声光调  $Q$  器件紧靠 Nd:GdVO<sub>4</sub> 晶体。输出的脉冲激光能量和激光脉冲信号分别用 LPE-1B 型功率计(中科院物理所)和 TDS620B 数字示波器(Tectronix Inc. USA)测量。

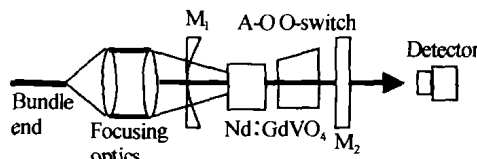


图 1 实验装置图  
Fig. 1 Schematic diagram of the experimental setup

## 2 实验结果及分析

根据调  $Q$  理论<sup>[7,8]</sup>, 在重复率为  $f$  时, 激光器的平均输出功率  $P_{av}$ , 单脉冲能量  $E$ , 脉冲宽度  $t_p$  分别为

$$P_{av} = \frac{Tf}{T+f} (n_i - n_f) h\nu V \quad (1)$$

$$E = \left( \frac{1}{\gamma} \right) V h\nu (n_i - n_f) \frac{T}{T+L} \quad (2)$$

$$t_p = \frac{2L'}{c(T+L)} \frac{n_i - n_f}{n_i - n_f [1 + \ln(n_i/n_f)]} \quad (3)$$

式中,  $T$  为输出透过率,  $n_i$  和  $n_f$  分别为初始和最终翻转粒子数,  $L$  为谐振腔的其它损耗,  $n_i$ ,  $n_t$  和  $n_f$  分别为初始、阈值和最终翻转粒子数,  $\nu$  为光子的频率,  $\gamma$  为粒子数反转因子(对于三能级系统  $\gamma=2$ , 对于四能级系统  $\gamma=1$ ),  $L'$  为谐振腔的光学长度,  $c$  为真空中的光速,  $V$  为光束在激光晶体中的体积. 从式(1)、(2)、(3)可以看出, 对于一定的输入能量或功率, 输出透过率  $T$  越大, 则输出能量或功率也越大. 但是  $T$  增大, 又会使阈值泵浦功率增大, 使输出功率减小. 因此, 对于一定的输入功率, 存在一个最佳输出透过率, 使得激光器具有最大的输出功率. 实验中分别对不同的输出透过率(10%, 20%, 40%, 50%)进行了比较, 对激光输出平均功率和调  $Q$  脉冲进行测量. 输出镜的透过率越小, 谐振腔内振荡光的功率密度越高, 输出功率就会趋向饱和, 激光晶体的热透镜效应也会越严重, 从而导致谐振腔进入非稳定区. 在 10% 的输出透过率下, 激光输出不稳定且脉冲波形发生畸变. 随着输出镜透过率的增大, 激光器能够稳定输出调  $Q$  脉冲的泵浦功率范围也变大. 在本实验条件下, 40% 的输出镜透过率为最佳, 激光器稳定输出的泵浦功率范围最大, 平均输出功率和单脉冲能量最高, 脉宽也最窄.

我们选取 40% 的输出透过率, 在不同的调  $Q$  重复率(10 kHz, 20 kHz, 30 kHz, 40 kHz)下, 研究了其激光输出性能. 图 2 给出了不同重复率下输出功率与泵浦功率的变化关系. 可以看出, 对应同样的泵浦功率, 在较高的重复率时, 平均输出功率也较高, 斜率效率也较高. 在重复率为 40 kHz, 泵浦功率为 4.15 W 时, 获得最大平均输出功率 1.46 W, 转换效率为 35.1%, 斜率效率为 44.2%. 图 3 为在不同的调  $Q$  重复率下, 脉冲宽度随泵浦功率的变化关系曲线图. 从图 3 看出, 在重复率一定时, 脉宽随泵浦功率的增加而减小; 在同样的泵浦功率下, 脉宽随重复率的增大而增大. 在重复率为 10 kHz, 泵浦功率为 4.15 W 时, 得到最短脉宽为 24 ns, 图 4 为该脉冲的示波器计录的波形. 实验中激光为单模输出, 激

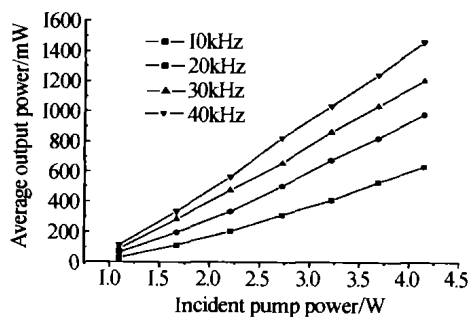


图 2 不同重复率下, 平均输出功率与泵浦功率的关系  
Fig. 2 Energy per pulse as a function of pump power at different repetition rates

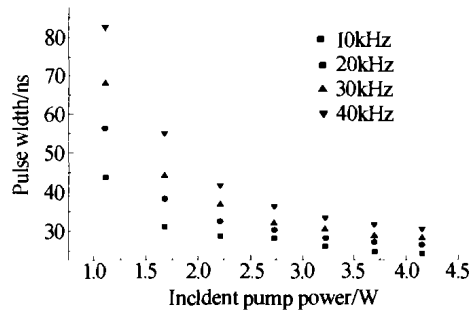


图 3 不同重复率下, 脉冲宽度与泵浦功率的关系

Fig. 3 Energy per pulse as a function of pump power at different repetition rates

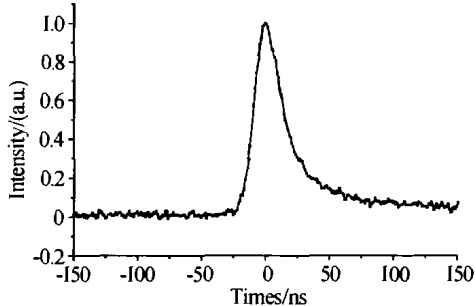


图 4 调  $Q$  脉冲的示波器波形, 脉宽 24 ns

Fig. 4 Oscilloscope trace of a  $Q$ -switched pulse, the pulse width is 24 ns

光器连续运转 30 min, 激光输出功率和调  $Q$  波形保持稳定.

利用公式  $E = P_{av}/f$  和  $P_{peak} = E/t_p$ , 其中  $t_p$  是脉冲宽度, 可计算出单脉冲的能量  $E$  和峰值功率  $P_{peak}$ . 图 5、6 分别为在 40% 输出透过率下, 不同重复率的单脉冲能量和峰值功率与泵浦功率的关系. 从图中可以看出, 在同样的重复率下, 单脉冲能量和峰值功率随着泵浦功率的增加而增大; 在一定的泵浦功率下, 重复率越低, 单脉冲能量越高, 又因为脉宽也变窄, 因此峰值功率就会更高. 这种现象可以用声光调  $Q$  的理论来解释<sup>[9]</sup>: 当重复率大于激光晶体的自发跃迁辐射几率  $\sigma_s$  时, 反转粒子数密度尚未达到饱和便因进入高  $Q$  状态而迅速衰减, 因此初始反转粒子数不大, 峰值功率也较小. 由于 Nd:GdVO<sub>4</sub> 晶体激光上能级寿命约为 90~100 μs, 因此其峰值功率应在重复率为 10 kHz 左右时为最大, 随着重复率的增加, 峰值功率将减小. 实验中, 在重复率为 10 kHz

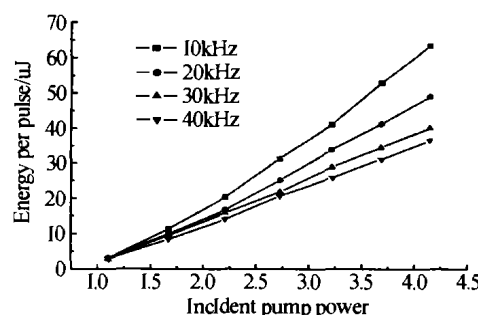


图 5 不同重复率下, 单脉冲能量与泵浦功率的关系  
Fig. 5 Pulse width as a function of pump power at different repetition rates

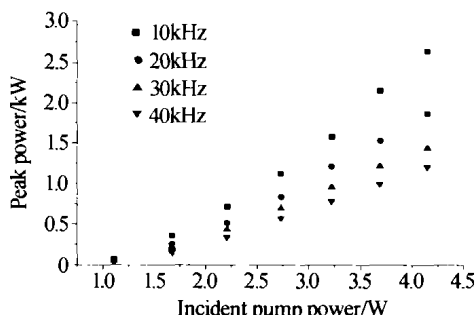


图 6 不同重复率下, 峰值功率和泵浦功率的关系

Fig. 6 Peak power as a function of pump power at different repetition rates

时, 获得最大单脉冲能量 63.2 μJ 和最大峰值功率 2.62 kW, 与理论预测相符.

### 3 结论

Nd:GdVO<sub>4</sub> 晶体热导率高的优点, 使其比 Nd:YVO<sub>4</sub> 晶体更适合于高功率 LD 泵浦的连续运转和准连续运转. 本文报道了 LD 泵浦的, 声光调 Q 准连续 Nd:GdVO<sub>4</sub> 激光器的输出特性. 在重复率为 40 kHz 时, 得到 1.46 W 的平均功率输出, 光-光转换效率为 35.1%, 斜率效率为 44.2%; 在重复率为 10 kHz 时, 获得了最短脉宽 24.1 ns. 实验结果与理论分析吻合. 在较高的泵浦功率和较长持续时间下, 未出现功率下降现象, 表明 Nd:GdVO<sub>4</sub> 晶体的热透镜效应并不严重, 如果进一步提高泵浦功率, 可望得到更大平均功率或峰值功率的激光输出.

### 参考文献

- Wyss Chr P, Lüthy W, Weber H P, et al. Performance of diode-pumped 5 W Nd<sup>3+</sup>:GdVO<sub>4</sub> microchip laser at 1.06 μm.

*Applied Physics (B)*, 1999, **68**(4): 659 ~ 661

- Liu J, Shao Z, Meng X, et al. High-power CW Nd:GdVO<sub>4</sub> solid-state laser end-pumped by a diode-laser-array. *Optics Communi*, 1999, **164**(4-6): 199 ~ 202
- Zhang H, Liu J, Wang J, et al. Characterization of the laser crystal Nd:GdVO<sub>4</sub>. *J Opt Soc Am (B)*, 2002, **19**(1): 18 ~ 27
- 尹钊, 沈德元, 植田宪一. 激光二极管抽运的 Nd:GdVO<sub>4</sub> 激光器. *光学学报*, 2000, **20**(10): 1374 ~ 1377
- Yin Z, Shen D Y, Ueda Ken-Ichi. *Acta Optica Sinica*, 2000, **20**(10): 1374 ~ 1377
- Liu J, Shao Z, Zhang H, et al. Diode-laser-array end-pumped intracavity frequency-doubled 3.6 W CW Nd:GdVO<sub>4</sub>/KTP green laser. *Optics Communi*, 2000, **173**(1-6): 311 ~ 314
- Liu J, Du C, Wang Z, et al. Diode - pumped Q - switched Nd:GdVO<sub>4</sub> green laser formed with a flat-flat resonator. *Optics & Laser Tech*, 2001, **33**(3): 177 ~ 180
- 克希耐尔 W. 固体激光工程(5 版). 北京: 科学出版社, 2002. 417
- Koechner W. Solid - state Laser Engineering ( 5<sup>th</sup> edition ). Beijing: Science Press, 2002. 417
- 杜晨林, 刘均海, 王正平, 等. LD 抽运声光调 Q 高重复频率短脉宽 Nd:YVO<sub>4</sub> 激光器. *中国激光*, 2002, **A29**(6): 489 ~ 491
- Du C L, Liu J H, Wang Z P, et al. *Chinese Journal of Lasers*, 2002, **A29**(6): 489 ~ 491
- 刘敬海, 徐荣甫. 激光器件与技术. 北京: 北京理工大学出版社, 1995. 161
- Liu J H, Xu R F. *Laser Device and Technology*. Beijing: Beijing Institute of Technology Press, 1995. 161

## LD-pumped A-O Q-switched Nd:GdVO<sub>4</sub> Laser with High Repetition Rates

Sun Yuming, Hou Xueyuan, Li Yufei

*Optics Department of Shandong University, Ji'nan 250100*

Received date: 2003-06-30

**Abstract** An acousto-optic Q-switched, LD pumped, quasi-continuous Nd:GdVO<sub>4</sub> laser at 1.06 μm is reported. At the pump power of 4.15 W and the repetition rate of 40 kHz, the maximum average output power 1.46 W is obtained, corresponding to an optical conversion efficiency of 35.1% and a slope efficiency of 44.2%. At the repetition rate of 10 kHz, the shortest pulse width 24 ns and the highest single pulse energy 63.2 μJ are produced, corresponding to the peak power of 2.62 kW.

**Keywords** Laser-diode; Pumping; Nd:GdVO<sub>4</sub>; A-O Q-switched



**Sun Yuming** was born in 1957, in Chongqing. He graduated from physics department, Shandong University in 1981. He is now a senior engineer in Information Science & Engineering College, Shandong University. His present research interests are laser technology and its application.